

## Efeito Zeeman normal

### ESPECTROSCOPIA COM ETALON FABRY-PÉROT

- Medição de anéis de interferência de etalon Fabry-Pérot relacionados com campo magnético externo.
- Determinando o magnéton de Bohr

UE5020700-2

07/18 UD

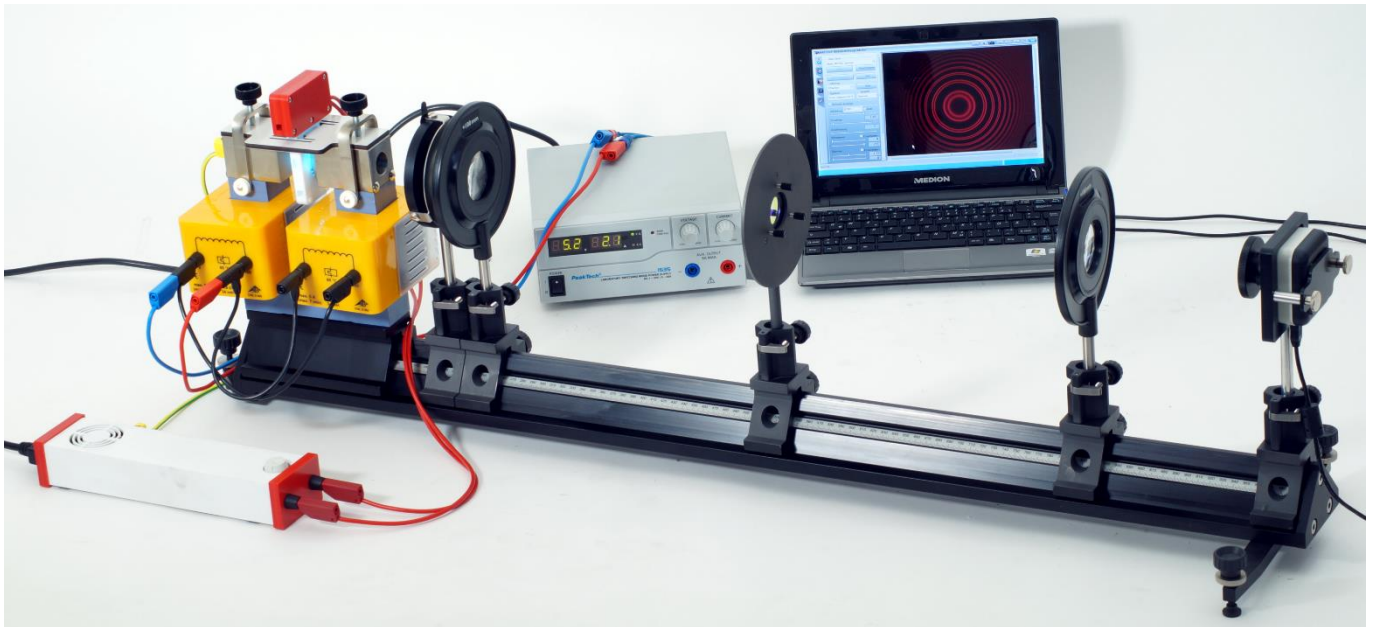


Fig. 1: Disposição de medição para o efeito Zeeman longitudinal

### FUNDAMENTOS

O efeito Zeeman refere-se à separação dos níveis de energia atômica ou das linhas espectrais devido à ação de um campo magnético externo. Seu nome advém de P. Zeeman, o cientista que o descobriu em 1896, e ele foi classicamente explicado por H. A. Lorentz por meio da força Lorentz que o campo magnético exerce sobre um elétron que orbita o núcleo. Neste chamado efeito Zeeman “normal”, a linha espectral se divide em uma dupla de linhas (efeito Zeeman longitudinal) paralela ao campo magnético e um trio de linhas (efeito Zeeman transversal) perpendicular ao campo magnético. O termo efeito Zeeman “anômalo” refere-se a fenômenos mais complexos de separação que permaneceram inexplicados até que Goudsmit e Uhlenbeck postularam a

existência do spin dos elétrons em 1925. Mecanicamente quântico, o efeito anômalo de Zeeman relaciona-se com a interação do campo magnético com o momento magnético da casca do elétron gerado pelo momento angular orbital e pelo spin dos elétrons. Neste aspecto, o efeito Zeeman anômalo representa o caso normal e o efeito Zeeman normal representa um caso especial.

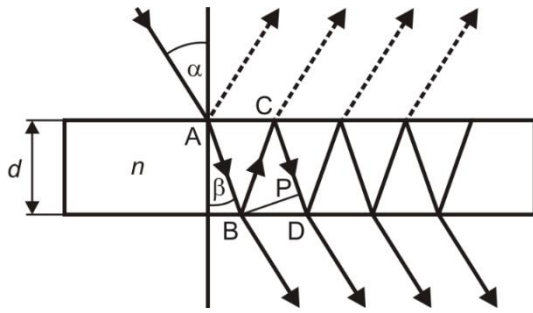


Fig. 2: Caminho do feixe no etalon Fabry-Pérot

Para uma descrição do efeito Zeeman normal, vide o manual de instruções para a primeira parte da experiência (UE5020700-1).

Esta segunda parte da experiência foca na espectroscopia com um etalon Fabry-Pérot. O etalon Fabry-Pérot é instalado mais acima com ótica de imagem da câmera digital usada para observar o fenômeno de separação Zeeman. Conforme passa pelo etalon Fabry-Pérot, a luz da lâmpada de cádmio cria anéis de interferência que se separam como as linhas espectrais de acordo com o campo magnético externo e são registradas pela ótica da câmera digital. Os eletroímãs podem ser girados sobre seus eixos para permitir a observação paralela ou perpendicular ao campo magnético externo.

Um etalon Fabry-Pérot é um ressonador ótico que compreende uma placa de quartzo com acabamento espelhado de alta reflexão, semi-prateado em ambos os lados (Fig. 2). Neste caso, etalon é projetado para satisfazer as condições de ressonância para o comprimento de onda  $\lambda = 643.8 \text{ nm}$  da linha vermelha de CD. Neste âmbito, o etalon também age como filtro ótico. A densidade  $d$ , o índice de refração  $n$  e o coeficiente de reflexão  $R$  do etalon são:

$$\begin{aligned} d &= 4 \text{ mm} \\ n &= 1,4567 \\ (1) \quad R &= 0,85 \end{aligned}$$

No etalon, um feixe incidente de luz é refletido múltiplas vezes. Os feixes de luz transmitidos em cada reflexão interferem uns nos outros. A diferença de curso  $\Delta s$  entre feixes de luz adjacentes transmitidos, ou seja, os feixes de luz emitidos nos pontos B e D na Fig. 2 é:

$$(2) \quad \Delta s = n \cdot (\overline{BC} + \overline{CP})$$

Dado

$$(3) \quad \overline{CP} = \overline{BC} \cdot \cos(2 \cdot \beta)$$

$$(4) \quad d = \overline{BC} \cdot \cos(\beta)$$

Lei de refração de Snell ( $n_{\text{air}} \approx 1$ )

$$(5) \quad \sin(\alpha) = n \cdot \sin(\beta)$$

e os teoremas de adição

$$\begin{aligned} \cos(\beta) &= \sqrt{1 - \sin^2(\beta)} \\ (6) \quad \cos(2 \cdot \beta) &= 1 - 2 \cdot \sin^2(\beta) \end{aligned}$$

a diferença de curso é

$$(7) \quad \Delta s = 2 \cdot d \cdot \sqrt{n^2 - \sin^2(\alpha)} = 2 \cdot d \cdot n \cdot \cos(\beta)$$

e daí a condição para a existência de picos de interferência é:

$$(8) \quad k \cdot \lambda = 2 \cdot d \cdot \sqrt{n^2 - \sin^2(\alpha_k)} = 2 \cdot d \cdot n \cdot \cos(\beta_k)$$

$k$ : Número inteiro, ordem de interferência

$\alpha_k$ : Ângulo de interferência à  $k^{\text{a}}$  ordem de interferência

$\beta_k$ : Ângulo de refração à  $k^{\text{a}}$  ordem de interferência

Juntos, eles geram um padrão de interferência que compreende anéis concêntricos. A refração nas superfícies limítrofes da placa de vidro do etalon Fabry-Pérot é negligenciável, pois ela somente desloca o padrão de interferência em paralelo. Por este motivo, o ângulo de refração  $\beta$  é substituído pelo ângulo de incidência  $\alpha$ , e a condição de interferência (8) resulta em

$$(9) \quad k \cdot \lambda = 2 \cdot d \cdot n \cdot \cos(\alpha_k) \approx 2 \cdot d \cdot n \cdot \left(1 - \frac{\alpha_k^2}{2}\right)$$

com o desenvolvimento  $\cos(x) \approx (1 - x^2 / 2)$  da função de cosseno.

A lente convexa é usada para reproduzir o padrão de interferência na câmera digital (Fig. 3). A relação a seguir existe entre o ângulo  $\alpha_k$  sob o qual o anel de interferência à  $k^{\text{a}}$  ordem aparece, o raio  $r_k$  do anel de interferência à  $k^{\text{a}}$  ordem e o comprimento focal  $f$  da lente (Fig. 3):

$$(10) \quad r_k = f \cdot \tan(\alpha_k) \approx f \cdot \alpha_k$$

com a aproximação de ângulo pequeno  $\tan(x) \approx x$ . Para a ordem de interferência  $k$  e o ângulo  $\alpha_k$ , a equação (9) dá

$$(11) \quad k = k_0 \cdot \cos(\alpha_k) \approx k_0 \cdot \left(1 - \frac{\alpha_k^2}{2}\right) \quad \text{com} \quad k_0 = \frac{2 \cdot d \cdot n}{\lambda}$$

e

$$(12) \quad \alpha_k = \sqrt{\frac{2 \cdot (k_0 - k)}{k_0}}$$

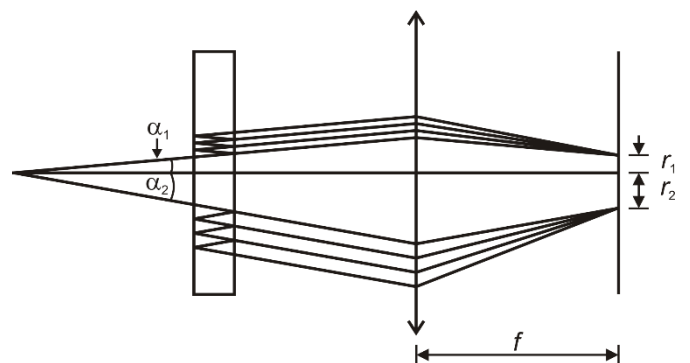


Fig. 3: Reprodução de anéis de interferência de etalon Fabry-Pérot na câmera digital

De acordo com a equação (11), uma vez que  $|\cos(\alpha_k)| \leq 1$ , a ordem de interferência  $k$  é máxima para  $\alpha_k = 0$ , ou seja, no centro dos anéis de interferência. Neste caso, ela também corresponde ao parâmetro  $k_0$ , que, em geral, não é um número inteiro. Uma vez que os anéis de interferência na experiência estão numerados do centro para fora, a ordem de interferência  $k$  é indexado com um número inteiro  $j$ , que identifica a  $k^a$  ordem de interferência com o  $j^o$  anel de interferência contando do centro para fora, por generalização do parâmetro  $k_0$  já introduzido.

De acordo com a equação (12), o primeiro anel de interferência claro com a ordem  $k_1$  aparece sob o ângulo

$$(13) \quad \alpha_{k_1} = \sqrt{\frac{2 \cdot (k_0 - k_1)}{k_0}}$$

onde  $k_1$  é o próximo número inteiro menor que  $k_0$ . Uma vez que  $k_0$  não é um número inteiro em geral, a diferença  $k_0 - k_1$  é menor que 1. Por este motivo, um parâmetro  $\varepsilon$  é definido conforme segue:

$$(14) \quad \varepsilon := k_0 - k_1 \text{ com } 0 < \varepsilon < 1$$

Para todos os anéis de interferência com  $j \geq 2$ , o número de ordem  $k_j$  diminui em 1, então, para a ordem de interferência do  $j^o$  anel de interferência contando a partir do centro, o seguinte geralmente se aplica:

$$(15) \quad k_j = (k_0 - \varepsilon) - (j - 1)$$

Para  $j = 1$ , a equação (15) corresponde diretamente à definição de  $\varepsilon$  da equação (14). Substituindo a equação (12) por  $k = k_j$  e a equação (15) na equação (10) dá

$$(16) \quad r_j = \sqrt{\frac{2 \cdot f^2}{k_0}} \cdot \sqrt{(j-1) + \varepsilon}$$

Onde, para simplificar a indexação, sem restringir a aplicabilidade geral, a convenção  $k_i \rightarrow r_i$  foi estabelecida. Esta convenção será mantida doravante. Da equação (16), conclui-se que a diferença entre os quadrados dos raios dos anéis de interferência adjacentes é constante:

$$(17) \quad r_{j+1}^2 - r_j^2 = \frac{2 \cdot f^2}{k_0} = \text{const.}$$

Da equação (16) e (17), conclui-se que:

$$(18) \quad \varepsilon = \frac{r_{j+1}^2}{r_{j+1}^2 - r_j^2} - j$$

Se os anéis de interferência separados em dois componentes adjacentes muito próximos  $a$  e  $b$ , cujos comprimentos de onda diferem um do outro apenas levemente, então, de acordo com a equação (14), conclui-se, por exemplo, para o primeiro anel de interferência, contando para fora a partir do centro:

$$(19) \quad \begin{aligned} \varepsilon_a &= k_{0,a} - k_{1,a} = \frac{2 \cdot d \cdot n}{\lambda_a} - k_{1,a} \\ \varepsilon_b &= k_{0,b} - k_{1,b} = \frac{2 \cdot d \cdot n}{\lambda_b} - k_{1,b} \end{aligned}$$

Uma vez que os dois componentes pertencem à mesma ordem de interferência, desde que os anéis de interferência não se sobreponham por mais do que uma ordem inteira, então  $k_{1,a} = k_{1,b}$  e, portanto:

$$(20) \quad \varepsilon_a - \varepsilon_b = k_{0,a} - k_{0,b} = 2 \cdot d \cdot n \cdot \left( \frac{1}{\lambda_a} - \frac{1}{\lambda_b} \right)$$

A equação (20) não depende explicitamente da ordem de interferência. Formulando a equação (18) para os dois componentes  $a$  e  $b$  e substituindo-a na equação (20), dá:

$$(21) \quad \left( \frac{1}{\lambda_a} - \frac{1}{\lambda_b} \right) = \frac{1}{2 \cdot d \cdot n} \cdot \left( \frac{r_{j+1,a}^2}{r_{j+1,a}^2 - r_{j,a}^2} - \frac{r_{j+1,b}^2}{r_{j+1,b}^2 - r_{j,b}^2} \right)$$

Uma vez que  $\lambda_a \approx \lambda_b$  e, portanto,  $k_{0,a} \approx k_{0,b}$ , conclui-se a partir da equação (17) que, com  $j > 0$ , as diferenças entre os quadrados dos raios do componente  $a$  ou  $b$  para ordens de interferência adjacentes  $j$  e  $j+1$  são aproximadamente iguais:

$$(22) \quad \Delta_a^{j+1,j} = r_{j+1,a}^2 - r_{j,a}^2 = r_{j+1,b}^2 - r_{j,b}^2 = \Delta_b^{j+1,j}$$

Correspondentemente, para dois componentes  $a$  e  $b$  da mesma ordem de interferência  $j$  com  $j > 0$ :

$$(23) \quad \delta_{a,b}^j = r_{j,a}^2 - r_{j,b}^2 = r_{j+1,a}^2 - r_{j+1,b}^2 = \delta_{a,b}^{j+1}$$

Substituindo as equação (22) e (23) na equação (21) dá:

$$(24) \quad \left( \frac{1}{\lambda_a} - \frac{1}{\lambda_b} \right) = \frac{1}{2 \cdot d \cdot n} \cdot \frac{\delta_{a,b}^{j+1}}{\Delta_a^{j+1,j}} \text{ para todo } j > 0$$

Uma vez que a equação (22) se aplica para os dois componentes  $a$  e  $b$  de anéis de interferência adjacentes e a equação (23) se aplica para todos os anéis de interferência, os valores médios

$$(25) \quad \delta = \overline{\delta_{a,b}^j}$$

e

$$(26) \quad \Delta = \overline{\Delta_a^{j+1,j}}$$

podem ser formados e substituídos na equação (24):

$$(27) \quad \left( \frac{1}{\lambda_a} - \frac{1}{\lambda_b} \right) = \frac{1}{2 \cdot d \cdot n} \cdot \frac{\delta}{\Delta}$$

com

$$(28) \quad \Delta E_{a,b} = h \cdot c \cdot \left( \frac{1}{\lambda_a} - \frac{1}{\lambda_b} \right) = \mu_B \cdot B$$

conclui-se a partir da equação (27) que:

$$(29) \quad \frac{\delta}{\Delta} = \frac{2 \cdot d \cdot n \cdot \mu_B}{h \cdot c} \cdot B = m \cdot B \quad \text{com} \quad m := \frac{2 \cdot d \cdot n}{h \cdot c} \cdot \mu_B$$

O quociente  $\delta / \Delta$  pode ser medido e representado graficamente como função da densidade do fluxo magnético  $B$ , e o magnéton de Bohr  $\mu_B$  pode ser determinado a partir da inclinação  $m$  de uma linha de tendência.

## LISTA DE EQUIPAMENTOS

1	Lâmpada CD com acessórios @230V	1021366 (U8557780-230)
ou		
1	Lâmpada CD com acessórios @115V	1021747 (U8557780-115)
1	Núcleo D em forma de U	1000979 (U8497215)
2	Espiras D 900 bicos	1012859 (U8497390)
1	Acessórios de eletroímã para efeito Zeeman	1021365 ( )
1	Fonte de Energia DC 1 – 32 V, 0 – 20 A @230V	1012857 (U11827-230)

Em países com tensão de 110 – 120 V, é necessária uma fonte de energia correspondente à fonte de energia 1012857.

1	Conjunto de 15 fios de experiência, 75 cm, 1mm <sup>2</sup>	1002840 (U13800)
1	Etalon Fabry-Pérot	1020903 (U8557590)
2	Lentes convexas sobre haste, f = 100 mm	1003023 (U17102)
1	Placa de um quarto de comprimento de onda sobre haste	1021353 (U22023)
1	Anexo de polarização	1021364 (U8557760)
1	Filtro de polarização sobre haste (U22017)	1008668
1	Banco ótico D, 100 cm	1002628 (U10300)
1	Conjunto de pés para banco ótico D	1012399 (U103041)
1	Base ótica D	1009733 (U10319)
5	Deslizador ótico D 90/36	1012401 (U103161)
1	Suporte e filtro para Moticam	1021367 (U8557790)
1	Câmera digital Moticam 1	1021162 (U13160)

## INSTRUÇÕES DE CONFIGURAÇÃO E SEGURANÇA

Antes desta segunda parte da experiência poder ser realizada, os componentes precisam estar instalados e a experiência precisa estar configurada e ajustada conforme descrito no manual de instruções da primeira parte da experiência, observando-se todas as instruções de segurança nele.

## PROCEDIMENTO

### Calibragem do eletroímã

Para a avaliação descrita aqui, a relação entre a força do campo magnético e a corrente pelas espiras precisa ser conhecida. Por este motivo, a calibragem a seguir precisa ser realizada.

- Remova a lâmpada Cd no invólucro da placa de montagem.
- Posicione um gaussímetro (não incluído no equipamento fornecido) no vão de ar entre as duas peças de pólo (aprox. 10 mm), com o sensor de campo magnético centrado no vão.
- Ligue a fonte de Energia DC e eleve a corrente / fornecida às espiras em intervalos (por exemplo, de 1 A). Ajuste a corrente máxima para 5 A por, no máximo, 7 minutos e correntes maiores até 10 A por, no máximo, 10 segundos. Meça e registre o valor da densidade do fluxo magnético  $B$  para cada intervalo, e represente graficamente os resultados contra os respectivos valores de corrente.

Um exemplo de curva de calibragem é mostrado na figura 5.

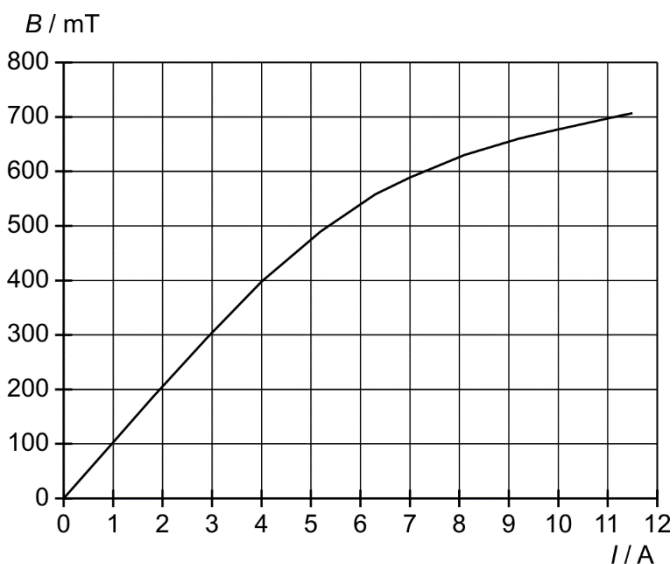


Fig. 5: Curva de calibragem do eletroímã

### Medição

- Monte configuração transversal girando o eletroímã conforme descrito na parte 1 do manual de instruções da experiência.
- Reduza a corrente para zero e desligue a fonte de Energia DC.
- Reinstale a lâmpada Cd na placa de montagem.
- Ligue a fonte de Energia DC, eleve a corrente fornecida às espiras para 3 A e capture uma imagem única com o software da câmera.
- Para tanto, clique no botão  no Módulo de Imagem ao Vivo e clique em "Capturar". Alterne do Módulo de Imagem ao Vivo para a tela principal. A captura registrada aparece grande na tela e também pequena na janela de visualização. Clique em "Arquivo" → "Salvar como" na barra de menu para salvar o arquivo sob um nome descritivo.

- Eleve a corrente, por exemplo, em intervalos de 0,5 A, até 5 A e capture e salve uma imagem única com o software da câmera para cada intervalo.

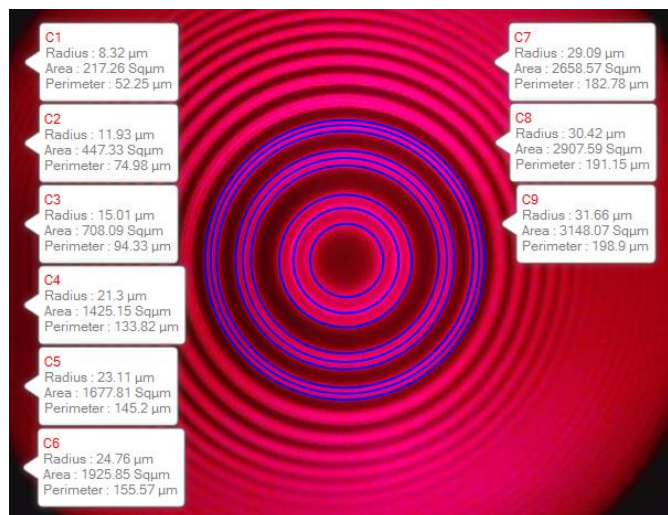


Fig. 4: Separação em trio da linha vermelha de cádmio ( $I = 3.5 \text{ A} \pm B = 340 \text{ mT}$ ) e uso do software da câmera para determinar as áreas abrangidas pelos anéis de interferência.

**Observação**

Ao elevar a corrente, assegure-se de que os anéis de interferência não se sobreponham em mais de uma ordem inteira.

Tab. 1: Áreas abrangidas pelos anéis de interferência determinadas por médias do software da câmera ( $I = 3.5 \text{ A} \pm B = 340 \text{ mT}$ )

J	Componente	Círculo	Área / μm <sup>2</sup>
1	σ <sup>-</sup>	C1	217
	π	C2	447
	σ <sup>+</sup>	C3	708
2	σ <sup>-</sup>	C4	1425
	π	C5	1678
	σ <sup>-</sup>	C6	1926
3	σ <sup>-</sup>	C7	2659
	π	C8	2908
	σ <sup>+</sup>	C9	3148

Tab. 2: Áreas diferenciais Δ de componentes correspondentes de ordens adjacentes de interferência ( $I = 3,5 \text{ A} \pm B = 340 \text{ mT}$ )

Área diferencial Δ / μm <sup>2</sup>
--------------------------------------

**EXEMPLO DE MEDIÇÃO E AVALIAÇÃO**

- Na tela principal do software da câmera, selecione uma captura da janela de visualização, de forma que apareça em formato grande na tela.
- Na lista de menu à direita, clique em “Medir” e selecione “Círculo”. Clique no centro dos anéis de interferência um após o outro, desenhe círculos e alinhe-os com tantos anéis de interferência quantos possíveis.

A Fig. 4 ilustra a avaliação da captura registrada para  $I = 3.5 \text{ A} \pm B = 340 \text{ mT}$ . Para cada círculo desenhado, aparece um campo de texto listando os valores do raio, área e perímetro daquele círculo.

- Registre as áreas de todos os círculos na Tab. 1.

A unidade de área é irrelevante para a análise subsequente, porque somente valores relativos serão computados, não valores absolutos.

- Calcule as áreas diferenciais Δ dos componentes de ordens de interferência adjacentes (círculos C4/C1, C5/C2, C6/C3, C7/C4, C8/C5, C9/C6) e insira-as na Tab. 2.
- Calcule as áreas diferenciais δ dos componentes das mesmas ordens de interferência (círculos C2/C1, C3/C2, C5/C4, C6/C5, C8/C7, C9/C8) e insira-as na Tab. 3.
- Determine as médias respectivas de todas as áreas diferenciais na Tab. 2 e 3 e insira-as nas tabelas.

Δ <sub>C4,C1</sub>	1208
Δ <sub>C5,C2</sub>	1231
Δ <sub>C6,C3</sub>	1218
Δ <sub>C7,C4</sub>	1234
Δ <sub>C8,C5</sub>	1230
Δ <sub>C9,C6</sub>	1222
Média	1224

Tab. 3: Áreas diferenciais δ de componentes adjacentes das mesmas ordens de interferência ( $I = 3,5 \text{ A} \pm B = 340 \text{ mT}$ )

Área diferencial δ / μm <sup>2</sup>	
δ <sub>C2,C1</sub>	230
δ <sub>C3,C2</sub>	261
δ <sub>C5,C4</sub>	253
δ <sub>C6,C5</sub>	248
δ <sub>C8,C7</sub>	249
δ <sub>C9,C8</sub>	240

Média	247
-------	-----

Tab. 4: Relação  $\delta / \Delta$  de áreas diferenciais para diferentes correntes  $I$  e densidades de fluxo magnético  $B$

$I / A$	$B / mT$	$\delta / \Delta$
3,0	301	0.168
3,5	340	0.202
4,0	392	0.211
4,5	431	0.241
5,0	473	0.271

- Realize a avaliação descrita acima para todas as capturas registradas nas outras correntes e densidades de fluxo magnético.
- Calcule os quocientes  $\delta / \Delta$  das médias para todas as correntes e densidades de fluxo magnético e insira-os na Tab. 4 (p. ex.,  $\delta / \Delta = 0.202$  for  $I = 3.5 A \triangleq B = 340 mT$ ). Tome os valores correspondentes da densidade do fluxo magnético da curva de calibragem do eletroímã estabelecida na primeira parte da experiência.
- Represente graficamente os quocientes  $\delta / \Delta$  como função da densidade de fluxo magnético  $B$  e desenhe a linha que melhor se adapta através da origem (Fig. 5).
- Use a equação (29) para determinar o magnéton de Bohr a partir da inclinação  $m = 0.56 / T$  da linha que melhor se adapta:

$$\begin{aligned} \mu_B &= \frac{h \cdot c \cdot m}{2 \cdot d \cdot n} \\ &= \frac{6,6 \cdot 10^{-34} \text{ Js} \cdot 3,0 \cdot 10^8 \text{ m/s} \cdot 0,56 / T}{2 \cdot 4 \text{ mm} \cdot 1,4567} \\ &= 9,6 \cdot 10^{-24} \frac{\text{J}}{\text{T}} \end{aligned}$$

(30)

O valor fica dentro da margem de 3% do valor teórico  $9.3 \cdot 10^{-24} \text{ J/T}$ .

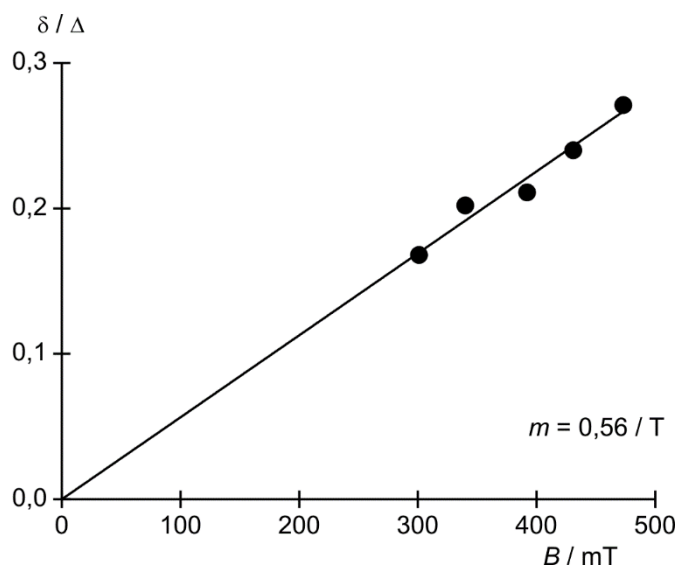


Fig. 5: Quociente  $\delta / \Delta$  como função da densidade do fluxo magnético  $B$